

## ИЗМЕНЕНИЕ ГАЛЬВАНОМАГНИТНЫХ СВОЙСТВ НЕЛЕГИРОВАННОГО АНТИМОНИДА КАДМИЯ ПРИ ЕСТЕСТВЕННОМ СТАРЕНИИ

Б. Н. Грицюк, А. И. Раренко, А. В. Сирота, Д. Д. Халамейда

Институт радиофизики и электроники, 310085, Харьков, Украина  
 (Получена 28 сентября 1992 г. Принята к печати 21 апреля 1993 г.)

Изучено изменение температурных и магнитополевых зависимостей коэффициента Холла  $R(T)$ ,  $R(H)$ , проводимости  $\sigma(T)$  и сопротивления  $\rho(H)$  нелегированного антимонида кадмия в процессе естественного старения на воздухе при комнатной температуре в течение трех лет. В исходных образцах эти зависимости свидетельствуют о том, что проводимость при низких температурах осуществляется в основном дырками в валентной зоне.  $R(T)$ ,  $\sigma(T)$ , и  $R(H)$ ,  $\rho(H)$  в состарившихся образцах можно объяснить в рамках двухзонной модели проводимости — по валентной и примесной зонам. Предполагается, что появление примесной зоны в состарившихся образцах связано с увеличением в процессе старения концентрации мелких акцепторных центров, обусловленных структурными дефектами преимущественно вблизи поверхности образца.

Временная нестабильность свойств нелегированного антимонида кадмия исследовалась ранее по фотоэлектрическим измерениям при 295 K [1]. Авторами сделан вывод, что естественное старение приводит к образованию поверхностного слоя, свойства которого отличаются от объемных. В данной работе изучено естественное старение CdSb по изменению температурных и магнитополевых зависимостей коэффициента Холла ( $R$ ) и проводимости ( $\sigma$ ) при низких температурах.

Монокристаллы нелегированного антимонида кадмия выращивались методом зонной плавки в условиях, обеспечивающих как низкую концентрацию точечных дефектов, так и плотность дислокаций [2]. Давление пара Cd над расплавом в процессе выращивания материала составляло 5–20 мм рт. ст. Исходные образцы имели размеры  $5 \times 2 \times 1.6$  мм и ориентировались по длине вдоль кристаллографических направлений [100] либо [010]. Токовые и потенциональные контакты изготавливались путем пайки свинцово-оловянным припоеем. После старения образцов в течение трех лет на воздухе при комнатной температуре проводились повторные измерения. Затем образцы подвергались шлифовке и химическому травлению и их свойства изучались снова. Полученные результаты сходны для ориентаций электрического тока ( $J$ ) вдоль [100] и [010]. В статье приводятся данные для  $J // [100]$ . Магнитное поле ( $H$ ) направлено вдоль [010]. На рис. 1 показаны температурные зависимости  $R$  и  $\sigma$  для исходного образца (рис. 1, кривая 1), для того же образца, претерпевшего старение (рис. 1, кривая 2) и после обработки поверхности (рис. 1, кривая 3). Цифры 1, 2, 3 везде относятся к названным образцам при соответствующих обозначениях. В исходном образце  $R$  и  $\sigma$  с понижением температуры до 4.2 K изменяются по экспоненциальному закону. Естественное старение приводит к изменению вида зависимостей  $R(T)$  и  $\sigma(T)$ . На  $R(T)$  появляется максимум, а на  $\lg \sigma(1/T)$  — перегиб в области гелиевых температур. Значение  $N_A - N_D$  ( $N_A$ ,  $N_D$  — концентрации акцепторов и доноров), определяемое по  $R$ , в области температур примесного источника в процессе старения увеличивается, а энергия ионизации акцепторов  $\varepsilon_A$ , вычисленная по наклону прямой  $\lg \sigma(1/T)$ , уменьшается (см. таблицу). Снятие поверх-

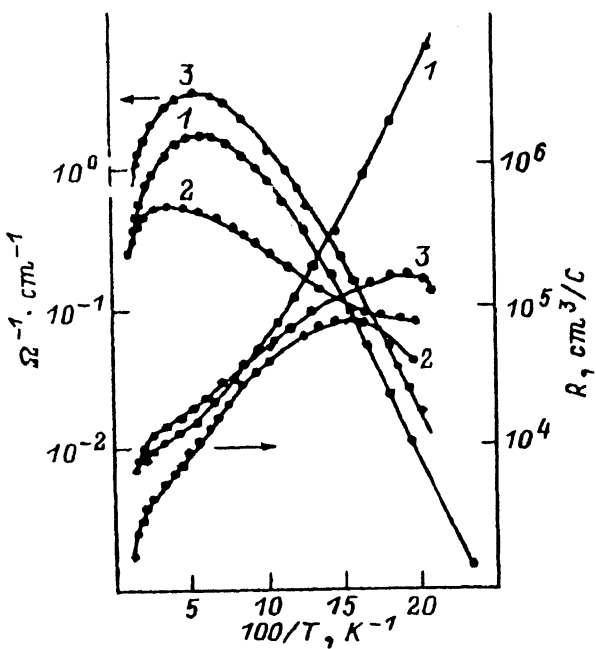


Рис. 1. Температурные зависимости коэффициента Холла  $R$  и проводимости  $\sigma$ .

Номер образца	$N_A - N_D, 10^{15} \text{ см}^{-3}$	$e_A, \text{ мэВ}$
1	1.36	4.3
2	4.81	1.6
3	1.70	4.3

хностного слоя приводит к частичному восстановлению вида зависимостей  $R(T)$  и  $\sigma(T)$ . Поперечное магнитосопротивление в исходном образце при 4.2 К носит экспоненциальный характер, а  $R$  в магнитном поле возрастает (рис. 2, кривая 1). После старения  $R$  имеет убывающую магнитополевую зависимость при 4.2 К и не зависит от  $H$  при 2 К (рис. 2, кривая 2). Поперечное магнитосопротивление состарившегося образца более чем на порядок меньше по сравнению с исходным. В магнитном поле до 10 кЭ в состарившемся образце проявлялось два типа зависимости сопротивления  $\rho$  от  $H$ . Когда сопротивление образца составляло 65.1 Ом·см при 4.2 К, на  $\rho(H)$  наблюдалась «полка», которая исчезала при понижении температуры до 2 К (рис. 3). При понижении сопротивления образца в процессе старения до 25.5 Ом·см регистрировалось отрицательное магнитосопротивление (ОМС) (рис. 2, а, кривая 2). После снятия поверхности слоя состарившегося образца значения  $R$  и  $\rho$  увеличивались, однако, вид их магнитополевых зависимостей оставался прежним.

Температурные зависимости  $R$  и  $\sigma$  исходного образца обусловлены в основном процессами активации дырок с акцепторами в валентную зону и рассеяния дырок на фононах и примесных атомах. После старения образца на  $R(T)$  и  $\sigma(T)$  появляются характерные признаки проводимости по примесной зоне — максимум  $R(T)$  и перегиб  $\lg \sigma(1/T)$  в области гелиевых температур. Можно предположить, что в результате естественного старения в нелегированных образцах CdSb происходит увеличение концентрации мелких акцепторов, обусловленных струк-

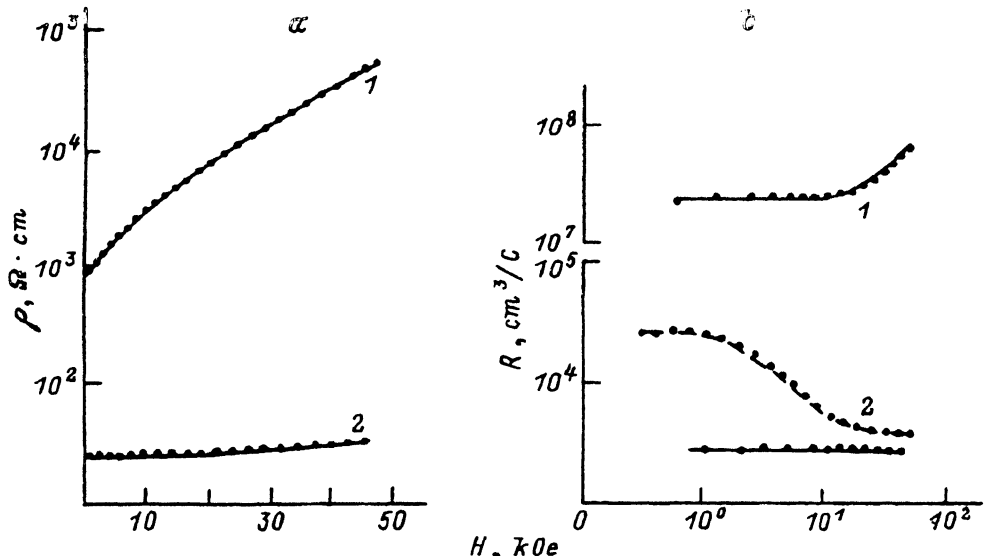


Рис. 2. *a* — магнитополевые зависимости удельного сопротивления  $\rho$ ; *b* — магнитополевые зависимости коэффициента Холла  $R$ .

турными дефектами кристаллической решетки [3]. Вследствие этого появляется примесная зона [4] и проводимость при гелиевых температурах осуществляется дырками валентной и примесной зон. Такое предположение подтверждается уменьшением при старении значения  $R$  в области примесного истощения, определяющего величину  $N_A - N_D$ . При этом  $N_A - N_D$  увеличивается от  $1.36 \cdot 10^{15}$

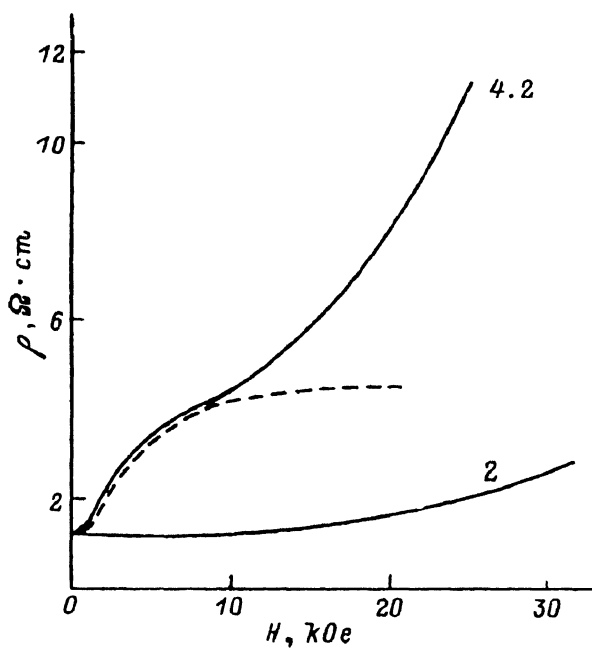


Рис. 3. Магнитополевые зависимости удельного сопротивления  $\rho$  в состарившемся образце. Постоянная составляющая скомпенсирована.

$\text{см}^{-3}$  до  $4.81 \cdot 10^{15} \text{ см}^{-3}$ . В работе [5] проводимость по примесной зоне наблюдалась начиная с  $N_A - N_D = 2.5 \cdot 10^{15} \text{ см}^{-3}$ , что согласуется с нашим результатом. Магнитополевые зависимости  $R$  и  $\rho$  в исходном образце обнаруживают эффект магнитного «вымораживания» дырок на акцепторы [6]. Проводимость по примесной зоне в этом образце пренебрежимо мала (либо отсутствует вообще), что дает возможность регистрировать экспоненциальную зависимость  $\rho (H)$ , обусловленную уменьшением концентрации валентных дырок в магнитном поле. В состарившемся образце  $R$  и  $\rho$  определяются валентными и примесными дырками, имеющими различные концентрации и подвижности. На рис. 2, 3 пунктирные линии соответствуют расчетным для  $R (H)$  и  $\rho (H)$  по известным формулам двухзонной модели проводимости [7]. С понижением температуры до 2 К валентные дырки вымораживаются на акцепторы, а  $R$  и  $\rho$  определяются только примесными дырками. Полное магнитосопротивление в состарившемся образце можно объяснить, если учитывать положительное магнитосопротивление, даваемое формулой для двухзонной модели, отрицательное слагаемое и эффект магнитного «вымораживания». Снятие поверхностного слоя состарившегося образца восстановливало вид  $R (T)$  и  $\sigma (T)$ , что указывает на близость объемных свойств к свойствам исходного образца. Таким образом, наблюдаемые изменения свойств CdSb можно объяснить, если предположить, что в процессе старения увеличивается концентрация мелких акцепторов преимущественно вблизи поверхности образца. Увеличение концентрации акцепторных центров в поверхностном слое нелегированного антимонида кадмия наблюдалось ранее в экспериментах с отжигом образца [8]. Предполагалось, что это связано с обеднением поверхностного слоя кристаллов атомами Cd. Согласно [9], акцепторами в нелегированном антимониде кадмия являются ваканции Cd. Как показывают наши исследования, образование электрически активных точечных дефектов в нелегированных кристаллах CdSb с низкой концентрацией структурных дефектов происходит также и при комнатной температуре и продолжается в течение нескольких лет после выращивания материала.

#### СПИСОК ЛИТЕРАТУРЫ

- [1] Т. С. Гертович, И. П. Жадько, Э. А. Зинченко. УФЖ, 34, 930 (1989).
- [2] Б. Н. Грицюк. Автореф. канд. дис. Черновцы (1988).
- [3] Л. И. Анатычук, В. Д. Искра, О. Я. Лусте, И. М. Раренко. Изв. АН СССР. Неорган. материалы, 5, 1501 (1969).
- [4] N. F. Mott, W. D. Twose. Adv. Phys., 10, 107 (1961).
- [5] T. Kawasaki, T. Tanaka. J. Phys. Soc. Japan, 21, 2475 (1966).
- [6] Б. Н. Грицюк, А. В. Сирота, Д. Д. Халамейда. Твердотельная электроника миллиметрового и субмиллиметрового диапазона. Сб. науч. тр. ИРЭ АН УССР, 136. Харьков (1988).
- [7] Б. М. Аскеров. Электронные явления переноса в полупроводниках. М. (1985).
- [8] Л. И. Анатычук, В. М. Кондратенко, О. Я. Лусте, П. Х. Хавруняк. Изв. АН СССР. Неорган. материалы, 8, 653 (1972).
- [9] В. Б. Лазарев, В. Я. Шевченко, Я. Х. Гринберг, В. В. Соболев. Полупроводниковые соединения группы A<sup>n</sup>B<sup>m</sup>. М. (1978).

Редактор Т. А. Полянская